

開水路流れの縱分散に対する粗度の影響に関する研究

京大防災研究所 正会員 村本嘉雄 正会員 大西行雄
神戸市 正会員 ○山本久五

1. まえがき：実河川の縱分散現象の水理模型水路としての人工粗度水路の適用性を明確にするために著者らは模型人工粗度水路における縱分散の解明を進めていく。その結果、縱分散機構を支配する流速分布特性と乱流拡散係数とと並ぼす粗度の影響を明らかにする必要のあることがわかった。ここでは模型粗度水路における流速分布およびReynolds応力の分布特性を実験的に明らかにし、鉛直および横拡散の実験結果により、乱流拡散係数を見出す。ついでそれらを用いて縱分散係数の推定を行ひ、最後に縱分散に関する相似律の検討を行う。

2. 実験とその結果：実験は、幅60cm、長さ145m、こう配1/10の水路内に模型人工粗度として $20 \times 20 \times 3\text{mm}$ の等辺山型鋼を水路底面に設置し、表1のようなく無次元化した相対粗度間隔 s/k （機高 $k=2\text{cm}$ ）および実験条件で行った。流速測定には70口ペラ流速計および2成分Hot Film流速計を用い、拡散実験は、アルコールで比重を調節した3%食塩水の連続実源を流水断面中央に設けて行った。図1は、流下方向流速 u を鉛直方向に平均したり、横方向に平均した u_e の \bar{u} （ \bar{u} は全断面の平均値を表す）からの二乗平均根をひき無次元化して示したものであり、同図から粗度間隔が密であれば横方向の流速分布はほぼ無視できることがわかる。 u_e の鉛直方向分布を粗度上(%)および粗度間隔を4等分した断面(中点部)にについて示せば図2のようであり路床附近を除いてほぼ対数分布則が成立している。また、鉛直方向流速成分 w の分布は図3に示すようであって、粗度間のほとんどで鉛直下方に流量が供給されていることを示している。これは、粗度要素の上端から剥離した水流が流域に沿って主流域を増大させ、ついで再付着点から底面近傍の流速分布を発達させることによるものと思われる。したがって粗度前面では急激な上昇流が存在するものと思われる。ついで、Reynolds応力のうち $-\bar{u}w$ の分布は、図4のように主流域で直線分布をし、路床附近の死水域で減少しており、流速分布と対応した分布をしている。一方、 $-\bar{u}v$ の分布は横方向にほぼ一様であり、 $s/k=10$ のときに $-\bar{u}v$ は極めて小さくなっている。最後に、鉛直拡散係数 K_z を拡散実験の結果にMoment法を適用して、ついで渦動粘性係数か乱流拡散係数と等しいとみなして(1)式から、および流速分布 $E_x = -\bar{u}w / \frac{du}{dx}$ (1) からKarmann定数 K を推定し(2)式からそれを求め $E_x = \frac{K}{h} u_e$ (2)

s/k	Q	h	U	U_e
(1/s)	(cm)	(cm/s)	(cm/s)	(cm/s)
5	7.8	7.08	18.4	3.72
10	8.2	9.39	14.6	4.29
20	8.2	8.40	16.3	4.06
40	8.0	9.73	16.9	3.94
∞	8.0	3.61	36.9	2.66

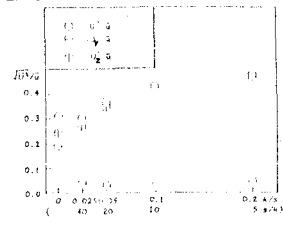


図1 流速のシーカー結果

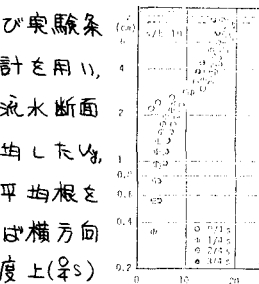


図2 ueの分布

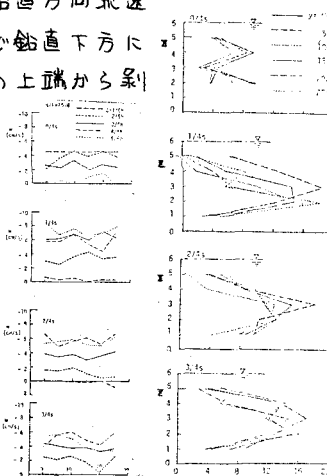


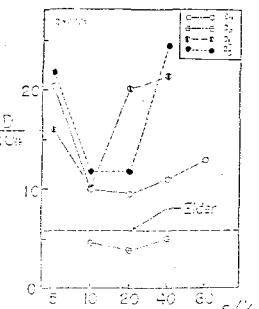
図3. wの分布. 図4. -uwの分布

め、 h_{lk} を無次元化して表2に示す。⑩式による値は若干大きめであるが3方法による値はほぼ等しい。一方、無次元横拡散係数 $\frac{E_y}{h_{lk}}$ は拡散実験によって得た値を表3に示してあるが、 $\eta=10$ のとき極小値0.103を持ち、 $\eta=\infty$ のとき最大値0.466である。

表2 $\frac{E_y}{h_{lk}}$ の値

η/k	(従来算出より)	(流れ計算より)	(理論計算より)
5	0.04353	0.066	0.0533
10	0.08233	0.080	0.0572
20	0.16460		0.0652
40			0.0329
∞			

3. 分散係数の推定：模型粗度水路における分散係数 D を3つの3つの方法によつて推定し実測値と比較する。すなわち、①主流域における分散係数を上述の4つの実測値を用いてElderと同様の方法で求め、その値を死水域モデルでの分散係数について村本ら²⁾が示した推定式に代入する方法（添字D）。②Fischerの示したDwittl(3)による方法（添字F）。ここで、 $\tau_0 = \frac{1}{4} \frac{h^2}{E_y}$ （4）によつて求めている。③分散域では移流効果と乱流拡散効果が釣合っているので、 $D = \frac{E_y}{h_{lk}} \left(\frac{\partial C}{\partial x} \right) + \frac{1}{2} \left(\frac{\partial^2 C}{\partial z^2} \right)$ （5）（'は断面平均量からの図5.分散係数の推定法の比較偏差を表す）が導かれる。一方、分散係数の定義式は $D = \iint_s U C d y d z$ （6）であるので、流速分布の実測結果を用ひ、 $\frac{E_y}{h_{lk}} = 0.23$ 、 $\frac{E_y}{h_{lk}} = 0.067$ として（5）、（6）式を数値計算して求める方法（添字L）。以上の3方法による推定値を分散実験結果からMoment法により求めた値（添字M）と比較したのが図5である。各による変化の傾向はいずれの推定法においても実測値の傾向と同じである。実測値との差は、D_Dでは主流域と死水域の区分の仕方、D_Lでは $\frac{E_y}{h_{lk}}$ および $\frac{E_y}{h_{lk}}$ の仮定にあると思われ、この差を改善すれば差は小さくなる。しかし、D_Fの場合には流速分布の偏差のみでは剥離域の死水域としての効果を十分に反映していないためと考えられ、模型粗度水路の分散係数の推定法としては不適切であると思われる。



4. 縦分散の相似律：縦分散方程式 $\frac{\partial C}{\partial t} + U \frac{\partial C}{\partial x} = D \frac{\partial^2 C}{\partial z^2}$ （7）を無次元化したときの係数が模型と原型で等しくなることから $D_t = U^2 \tau_0$ （8）（添字Tは相似比を表す）が導かれる。縦分散現象における特性時間としてLagrangian Time Scale τ_0 をとれば、奥河川では横方向の流速分布と横拡散が重要であるといわれているので、 $\tau_0 = \frac{1}{4} \frac{(E_y)^2}{h_{lk}}$ （9）で推定される。いま、 $E_y = d h_{lk}$ とおくと（8）、（9）式より $D_t = \frac{1}{4} \frac{(U)}{(h_{lk})^2}$ （10）という関係が求まる。この比例定数を横方向流速偏差の比較的大きい実験ケースで求めると、 $\eta=20$ 、40および100のとき求められ0.020、0.025および0.026とほぼ一定であり平均的に $D_t = 0.026 \frac{(U)}{(h_{lk})^2}$ （10）を得る。粗度間隔が密な場合には鉛直方向の流速分布が重要であるか、奥河川との相似関係を考える場合に、人工粗度の効果がどの程度の横拡散係数に相当するかのパラメータであると解釈すると粗度間隔と水路幅を変化させることにより図6のように α を広範囲に使えることが可能であって、奥河川との相似関係を満足させることができよう。

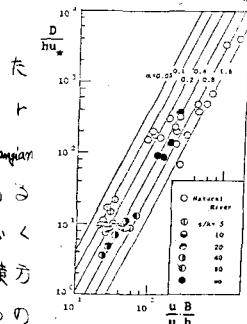


図6. 相似則りの検討.

（参考文献）

- 1) 村本・山本；土木学会年譲, 1978
- 2) 村本・益上・中川；水理講演会論文集, 1976
- 3) Fischer, H.B.; Proc. ASCE, HY6, 1967